ASSESSING THE IMPACT OF CLIMATE CHANGE ON CROP PRODUCTION IN THE INDIAN STATES OF HIMACHAL PRADESH AND UTTAR PRADESH

JYOTI SINGH

CENTRE FOR ATMOSPHERIC SCIENCES

INDIAN INSTITUTE OF TECHNOLOGY DELHI

NOVEMBER 2021

ASSESSING THE IMPACT OF CLIMATE CHANGE ON CROP PRODUCTION IN THE INDIAN STATES OF HIMACHAL PRADESH AND UTTAR PRADESH

by

JYOTI SINGH

Centre for Atmospheric Sciences

Submitted

in fulfilment of the requirements of the degree of Doctor of Philosophy

to the

INDIAN INSTITUTE OF TECHNOLOGY DELHI

NOVEMBER 2021

Dedicated to my mother & Father

For their support, patience, and faith

Certificate

This is to certify that the thesis titled "***Assessing the impact of climate change on crop production in the Indian states of Himachal Pradesh and Uttar Pradesh***" being submitted by **Ms. Jyoti Singh** to the **Indian Institute of Technology Delhi** for the award of the degree of **Doctor of Philosophy**, is a record of original bonafide research work carried out by her. She has worked under our guidance and supervision and has fulfilled the requirements for the submission of this thesis.

The results presented in this thesis have not been submitted in part or full to any other University or Institute for the award of any degree or diploma.

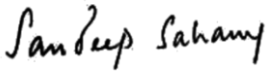

PROF. SANDEEP SAHANY
Centre for Atmospheric Sciences
Indian Institute of Technology Delhi*

PROF. SAROJ KANTA MISHRA
Centre for Atmospheric Sciences
Indian Institute of Technology Delhi

**Currently at the Centre for Climate Research Singapore*

Acknowledgements

I want to express my sincere and profound gratitude to my supervisors, Prof. Sandeep Sahany and Prof. Saroj Kanta Mishra, for their invaluable guidance and wholehearted support. I am genuinely indebted to Prof. Sandeep Sahany, without whom this thesis would never have been possible. His approach towards a research question, emphasizing the subtext of the problem and tiny details in the search for a simple and elegant process, has taught me a great deal. I am thankful to him for being so generous with his time and immense patience with me. My collaboration and interactions with Prof. Alan Robock have improved my research immensely. I wish to thank him for his invaluable, accurate and elaborative feedbacks. I want to thank Prof. C.T. Dhanya for providing algorithms and valuable feedback on their incorporation into my research.

I am highly thankful to SRC members- Prof. Maithili Sharan, Prof. Vimlesh Pant, Prof. B.K. Panigrahi and Head CAS Prof. Krishna Achuta Rao for their helpful suggestions and advice. I want to extend my gratitude to all other faculty and administrative staff (especially Narendra Ji for his outstanding support) of CAS.

I want to gratefully acknowledge the Indian Institute of Technology Delhi (IITD) for providing me PhD fellowship and logistics during my PhD. I am grateful to the IITD Super Computing Facility for providing the computing resources for my PhD. I thank IITD, American Geophysical Union, and Asia Oceania Geosciences Society for providing the travel support to attend conferences and workshops during my PhD.

I am very fortunate to have some great people to share and discuss interesting ideas with me. Thanks to Tanvi Gupta for those long coffee and phone discussions. I am also thankful to Yajnaseni Dash, Popat Salunke, Raju Pathak, Ankur Dixit, Vivek Kumar, Abhishek Anand, Shoobhangi Tyagi, Shweta Chaube, Soumi Dutta, Rohit Kumar Choudhary and, Sudipta Ghosh for their support and discussions. Many have nothing directly to do with this thesis but have made my life very lively and meaningful. I want to thank my dearest friend Sweta for her unconditional support and love. I want to thank Panini and Devnil for their presence in my life for exciting and fun discussions.

I want to extend my wholehearted love and gratitude towards our campus dogs (PubG, Peepani, Bachchan, Devil, Laila, Vindy, Lalu, and the Gupta-store gang). They have made my stay at IIT Delhi much happier and joyous. I want to thank my precious [cat] "Dukie" for being on my side in the long and alone times of the pandemic in IIT Delhi.

A special thanks to my dearest friend and partner, Abhisek Das. He has always enthralled curiosity in me about science through his unworldly attitude and most straightforward possible explanations of a

scientific phenomenon. I want to mention and remember my life coaches, late Aji and late Bade papa, for always encouraging and boosting my sense of freedom and curiosity.

Finally, I wish to express my deep appreciation to my mother, father, brother, sister and big joint family for their patience, unconditional love, and support during this thesis. This thesis is dedicated to all of them and science.

Jyoti Singh

Abstract

Food production in India (having one-sixth of the world population) is already affected by changing climate and is expected to accelerate in the future due to an increase in temperature, change in rainfall pattern, and increased frequency and intensity of extreme events. India is highly vulnerable to the impacts of climate change because of high population density, large agricultural workforce and limited adaptive capacity. Furthermore, increasing population (from current levels of ~1.3 to ~1.65 billion by 2060) and consumption growth coupled with climate change will increase food security risk. With these underlying uncertainties and challenges, it becomes imperative to assess the impact of global warming-related climate change on food production. However, most of the studies assessing the climate change impacts on agriculture are site-specific, use few coarse-resolution GCM data, and ignore farm management variability. Studies utilising GCM data lack in capturing the uncertainty in future projections because considered GCMs are significantly less in number. None of the studies in India have explored the potential strategies (e.g., geoengineering) to combat climate change in fragile ecosystems (e.g., Himalayas).

The research in this thesis focuses on understanding the impact of climate change on major crops of the two most vulnerable regions, the Himalayas (fragile ecosystem, rapid warming, and marginal adaptive capacity) and Indo-Gangetic plains (high population, already stressed natural resources and marginal adaptive capacity) of India. To begin with, we first evaluated four statistical downscaling techniques (QM, KNN_p, KNN and SVM-KNN) to be used in agriculture impact assessment. Coarse-resolution GCM data are not suitable to be directly used for agriculture-related impact assessment studies, especially for developing regions having diverse crop management practices. QM and KNN_p use rainfall to downscale rainfall. In contrast, KNN and SVM-KNN use large scale atmospheric variables (e.g., air temperature, specific humidity, wind speed, geopotential height at various pressure levels) to downscale rainfall. We evaluated the performance of the downscaling methods, their ability to capture annual rainfall amount, spatial pattern, seasonal and daily variability, extreme rainfall amount and some agriculture-specific metrics. We found that, overall, all the techniques perform (using correlation coefficient, root mean square error and mean absolute error) satisfactorily. SVM-KNN and KNN fail to capture the seasonal and daily variability and extremes of the monsoon (JJAS) rainfall, whereas QM outperforms all the other techniques for the same. Wet day fraction, wet spell length, average wet spell rainfall and dry spell length were used to evaluate the usefulness of these techniques in agriculture applications. QM performs best for the agriculture-specific metrics, and SVM-KNN and KNN significantly overestimate. Based on our analysis, we chose QM to downscale the GCM outputs and use it for further analysis in the subsequent chapters.

Next, the impact of global warming on land suitability of deciduous fruit over Himachal Pradesh was assessed using Hadley Global Environment Model 2 - Earth System (HadGEM2-ES) and

Max Planck Institute Earth System Model (MPI-ESM) under RCP4.5 from CMIP5. A corresponding stratospheric geoengineering scenario (G3 from GeoMIP5), proposed to combat the harmful effects of global warming, was also assessed for the same models. We used the period 2055–2069 (with the highest geoengineering forcing [switched-on]) and the period 2075–2089 (beginning five years into the termination phase [switched-off]) for analysis. We found that stratospheric geoengineering would suppress the increase in temperature under RCP4.5 scenario to some extent during both switched-on and switched-off periods. However, if the geoengineering were terminated, the rate of temperature increase would be higher than RCP4.5. The agroclimatically suitable area is projected to shift north-eastwards (to higher elevations) under RCP4.5 as well as G3 during both periods. However, geoengineering would restrict the shift during the switched-on period, and areas of Shimla and Mandi districts (most suitable under the current climate) would not be lost due to global warming. Even during the switched-off period, before the climate returned to RCP4.5 levels, the above areas would, although to a lesser extent, have reduced harmful climate effects from global warming. However, the area of suitable land (the intersection of suitable soil and agroclimatic suitability) would decrease in both periods for RCP4.5 and G3, because the high-elevation regions that become agroclimatically suitable are mostly rocky (unfit for cultivation). Geoengineering could benefit deciduous fruit production by reducing the intensity of global warming. However, if geoengineering were terminated abruptly, the rate of temperature change would be quite high, leading to a rapid change in land suitability and might result in total crop failure in a shorter period than RCP4.5.

In the next part of the thesis, the impact of climate change on Kharif season rice using more than a thousand crop-climate scenarios in Uttar Pradesh was carried out. Uttar Pradesh is divided into nine agroecological zones (AEZs) based on climate and soil. The study area of Uttar Pradesh has a total of 342 grids of 25 km x25 km grid-spacing, and each AEZ contains a given number of grids. A total of 1152 (16 x 4 x 2 x 3 x 3) experiments were designed using a combination of planting dates (3), rice cultivars (4), GCMs (16), irrigation conditions (2), and CO_2 concentration (3; historical, Shared Socio-economic Pathway 245 [SSP245] and SSP585) for a total of 342 grids. A gridded framework was designed to run the site-specific CERES-Rice model in a gridded environment. The simulations were carried out by forcing CERES-Rice with bias-adjusted and downscaled CMIP6 GCMs for historical, SSP245 and SSP585. In addition, the CO_2 fertilization effect is quantified by performing sensitivity experiments that include forcing CERES-Rice with a constant CO_2 value representative of 2005 (average of 1995-2014) and climates from SSP245 and SSP585 for all the three future periods for one planting scenario. The CERES-Rice simulations were performed for the historical (1995-2014) and three future periods (2030s [2026-2035], 2050s [2046-2055], and 2090s [2090-2099]) for the two SSPs. Phenology (anthesis and maturity), irrigation amount, crop evapotranspiration (ET), crop transpiration (EP), soil evaporation (ES), yield and water use efficiency (WUE) were evaluated and assessed for all AEZs.

Next, we evaluated CERES-Rice outputs for historical runs (1995-2014), forced with bias-adjusted and downscaled GCM climate with IMD-forced simulations. The output variables were averaged for early, mid, and late planting (25 June, 5 July, and 15 July), four cultivars, and aggregated for each AEZ for irrigated and rainfed rice. We found that the CERES-Rice simulations are dependent on input climate variables. Bias-adjusted and downscaled data produce match well with IMD data, yet residual biases in the frequency, intensity, and distribution of rainfall affect the related crop model outputs. Irrigation requirement and soil moisture (that affects ES, EP, ET, irrigation, yield and WUE) heavily depend on rainfall, hence their performance is affected. The uncertainties are higher in rainfed rice because it solely depends upon rainfall for crop water requirement, unlike irrigated rice, which is not limited by water availability. The model performance was found to vary with planting dates and AEZs.

Next, the impact of climate change under SSP245 and SSP585 was assessed for irrigated and rainfed rice for all the planting seasons. Results based on the multi-model mean (MMM) of 16 GCMs project increased rainfed rice yield in AEZs of western Uttar Pradesh due to increased rainfall, however, in eastern Uttar Pradesh, yield decreases under both SSPs. Irrigated rice yield decreases in all AEZs under both SSPs due to increase in temperature and decrease in the length of growing period, and by 2090s the reduction is up to 20%. For irrigated rice, lowest decrease in yield is in early planting, and for rainfed rice, highest increase in yield is in early planting. Irrigation decreases monotonically from early to the end of the century due to increased rainfall and a decrease in crop ET. The reduction in crop ET is associated with reduced vapour deficit (due to increased rain) and elevated CO_2 (reduced stomata opening). Water use efficiency (WUE) increases for both irrigated and rainfed rice from 2030s to 2050s and decreases by 2090s. The elevated CO_2 concentration increases rice yield for both rainfed and irrigated conditions. However, the combination of increased rainfall and CO_2 levels seems to be more beneficial for rainfed rice than irrigated rice. The CO_2 fertilization effect in rainfed rice is not spatially uniform as that in irrigated rice. The highest increase in rainfed rice yield due to elevated CO_2 is projected over semi-arid and dry sub-humid AEZs of Uttar Pradesh. Overall, our analysis finds that rainfed rice yield is projected to increase in western Uttar Pradesh, whereas decrease in eastern Uttar Pradesh under climate change. Irrigated rice yield is projected to decrease in all the AEZs of the state under climate change.

सार

भारत (दुनिया की आबादी का छठा हिस्सा) में खाद्य उत्पादन पहले से ही बदलती जलवायु से प्रभावित है और भविष्य में तापमान में वृद्धि, वर्षा पैटर्न में बदलाव और अतिविषम जलवायु घटनाओं की आवृत्ति और तीव्रता में वृद्धि के कारण इसमें और तेजी आने की सम्भावना है। उच्च जनसंख्या घनत्व, कृषि पर निर्भरता और सीमित अनुकूली क्षमता के कारण भारत जलवायु परिवर्तन के प्रभावों के प्रति अत्यधिक संवेदनशील है। इसके अलावा, बढ़ती जनसंख्या (2060 तक ~1.3 से बढ़कर ~1.65 बिलियन) और जलवायु परिवर्तन के साथ खपत वृद्धि से खाद्य सुरक्षा जोखिम और बढ़ जाएगा। इन अंतर्निहित अनिश्चितताओं और चुनौतियों के साथ, खाद्य उत्पादन पर ग्लोबल वार्मिंग से संबंधित जलवायु परिवर्तन के प्रभाव का आकलन करना अनिवार्य हो जाता है। हालांकि, कृषि पर जलवायु परिवर्तन के प्रभावों का आकलन करने वाले अधिकांश अध्ययन साइट-विशिष्ट हैं, कुछ कम रिज़ॉल्यूशन वाले GCM डेटा का उपयोग करते हैं, और कृषि प्रबंधन परिवर्तनशीलता को अनदेखा करते हैं। GCM डेटा का उपयोग करने वाले अध्ययनों में भविष्य के अनुमानों में अनिश्चितता को पकड़ने में कमी होती है क्योंकि प्रयोग किये गए GCM संख्या में काफी कम होते हैं। अभी तक किसी भी अध्ययन में भारत के अतिसंवेदनशील पारिस्थितिक तंत्र (जैसे, हिमालय) में जलवायु परिवर्तन से निपटने के लिए संभावित रणनीतियों (जैसे, जियोइंजीनियरिंग) का पता नहीं लगाया है।

यह थीसिस भारत के दो अति संवेदनशील क्षेत्रों, हिमालय (संवेदनशील पारिस्थितिकी तंत्र, तेजी से गर्म होने और सीमांत अनुकूली क्षमता) और भारत-गंगा के मैदानों (उच्च जनसंख्या, प्राकृतिक संसाधनों पर पूर्व से ही दबाव) की प्रमुख फसलों पर जलवायु परिवर्तन के प्रभाव को समझने पर केंद्रित है। सबसे पहले, हमने कृषि प्रभाव मूल्यांकन में उपयोग की जाने वाली चार स्टैटिस्टिकल डाउनस्केलिंग तकनीकों (QM, KNN_p, KNN और SVM-KNN) का मूल्यांकन किया। कम रिज़ॉल्यूशन वाले GCM डेटा कृषि से संबंधित प्रभाव मूल्यांकन अध्ययनों के लिए सीधे उपयोग करने के लिए उपयुक्त नहीं हैं, विशेष रूप से विविध फसल प्रबंधन प्रथाओं वाले विकासशील क्षेत्रों के लिए। QM और KNN_p वर्षा का उपयोग करके वर्षा को डाउनस्केल करते हैं। इसके विपरीत, KNN और SVM-KNN बड़े पैमाने के वायुमंडलीय वेरिएबल्स (जैसे, हवा का तापमान, विशिष्ट आर्द्रता, हवा की गति, विभिन्न दबाव स्तरों पर भू-संभावित ऊंचाई) का उपयोग करके वर्षा को डाउनस्केल करते हैं। हमने डाउनस्केलिंग विधियों के प्रदर्शन, वार्षिक वर्षा राशि, स्थानिक पैटर्न, मौसमी और दैनिक परिवर्तनशीलता, अतिविषम वर्षा राशि और कुछ कृषि-विशिष्ट मैट्रिक्स को पकड़ने की उनकी क्षमता का मूल्यांकन किया। हमने पाया कि, कुल मिलाकर, सभी तकनीकें संतोषजनक ढंग से प्रदर्शन करती हैं (correlation coefficient, root mean square error and mean absolute error का उपयोग करके)। SVM-KNN और KNN मौसमी और दैनिक परिवर्तनशीलता और मानसून (JJAS) वर्षा की चरम सीमा को पकड़ने में विफल रहते हैं, जबकि QM उसी के लिए अन्य सभी तकनीकों से बेहतर प्रदर्शन करता है। कृषि अनुप्रयोगों में इन तकनीकों की उपयोगिता का मूल्यांकन करने के लिए वेट डे फ्रैक्शन, वेट स्पेल लेंथ, मीन वेट स्पेल रेनफॉल और ड्राई स्पेल की अवधि का उपयोग किया गया था। QM कृषि-विशिष्ट मेट्रिक्स के लिए सबसे अच्छा प्रदर्शन करता है, और KNN और SVM-KNN काफ़ी अधिक अनुमान लगाते हैं। हमारे विश्लेषण के आधार पर, हमने GCM आउटपुट को डाउनस्केल करने के लिए QM को चुना और बाद के अध्यायों में आगे के विश्लेषण के लिए इसका इस्तेमाल किया।

इसके बाद, हिमाचल प्रदेश पर पर्णपाती फलों की भूमि की उपयुक्तता पर ग्लोबल वार्मिंग के प्रभाव का आकलन हैडली ग्लोबल एनवायरनमेंट मॉडल 2 - अर्थ सिस्टम (HadGEM2-ES) और मैक्स प्लैंक इंस्टीट्यूट अर्थ सिस्टम मॉडल (MPI-ESM) के तहत RCP4.5 (समिप्५) से किया गया। ग्लोबल वार्मिंग के हानिकारक प्रभावों से

निपटने के लिए प्रस्तावित स्ट्रैटोस्फेरिक जियोइंजीनियरिंग (GeoMIP5 से G3) का भी उन्हीं मॉडलों के लिए मूल्यांकन किया गया था। हमने विश्लेषण के लिए 2055-2069 (उच्चतम जियोइंजीनियरिंग फोर्सिंग [स्विच-ऑन] के साथ) और 2075-2089 की अवधि (टर्मिनेशन चरण [स्विच-ऑफ] में शुरुआत के पांच साल) का उपयोग किया। हमने पाया कि स्ट्रैटोस्फेरिक जियोइंजीनियरिंग स्विच-ऑन और स्विच-ऑफ दोनों अवधियों के दौरान कुछ हद तक RCP4.5 परिदृश्य के तहत तापमान में वृद्धि को दबा देगी। हालाँकि, यदि जियोइंजीनियरिंग को समाप्त कर दिया गया, तो तापमान वृद्धि की दर RCP4.5 से अधिक होगी। कृषि जलवायु की दृष्टि से उपयुक्त क्षेत्रों का दोनों अवधियों के दौरान RCP4.5 के साथ-साथ G3 के तहत उत्तर-पूर्व की ओर (उच्च ऊंचाई पर) स्थानांतरित होने का अनुमान है। हालांकि, जियोइंजीनियरिंग स्विच-ऑन अवधि के दौरान शिफ्ट को प्रतिबंधित कर देगी, और शिमला और मंडी जिलों के क्षेत्र (वर्तमान जलवायु के तहत सबसे उपयुक्त) ग्लोबल वार्मिंग के कारण नष्ट नहीं होंगे। स्विच-ऑफ अवधि के दौरान भी, जलवायु के RCP4.5 के स्तर पर लौटने से पहले, उपरोक्त क्षेत्रों ने, हालांकि कुछ हद तक, ग्लोबल वार्मिंग से हानिकारक जलवायु प्रभावों को कम किया होगा। हालांकि, उपयुक्त भूमि का क्षेत्र (उपयुक्त मिट्टी और कृषि जलवायु उपयुक्तता का प्रतिच्छेदन) RCP4.5 और G3 दोनों अवधियों में घट जाएगा, क्योंकि उच्च ऊंचाई वाले क्षेत्र जो कृषि के लिए उपयुक्त हो जाते हैं, वे ज्यादातर चट्टानी (खेती के लिए अनुपयुक्त) होते हैं। ग्लोबल वार्मिंग की तीव्रता को कम करके जियोइंजीनियरिंग पर्णपाती फलों के उत्पादन को लाभ पहुंचा सकती है। हालांकि, अगर जियोइंजीनियरिंग को अचानक समाप्त कर दिया गया, तो तापमान परिवर्तन की दर काफी अधिक होगी, जिससे भूमि की उपयुक्तता में तेजी से बदलाव आएगा और इसके परिणामस्वरूप RCP4.5 की तुलना में कम अवधि में कुल फसल खराब हो सकती है।

थीसिस के अगले भाग में, उत्तर प्रदेश में एक हजार से अधिक फसल-जलवायु परिदृश्यों का उपयोग करके खरीफ मौसम के चावल पर जलवायु परिवर्तन के प्रभाव का अध्ययन किया गया। उत्तर प्रदेश को जलवायु और मिट्टी के आधार पर नौ एग्रो-इकोलॉजिकल ज़ोन्स (AEZ) में विभाजित किया गया है। उत्तर प्रदेश के अध्ययन क्षेत्र में 25 किमी x25 किमी ग्रिड-स्पेसिंग के कुल 342 ग्रिड हैं, और प्रत्येक एईजेड में कुछ ग्रिड हैं। कुल 1152 (16 x 4 x 2 x 3 x 3) प्रयोग, प्रत्यारोपण तिथियों (3), चावल की किस्मों (4), GCM(16), सिंचाई की स्थिति (2), और CO2 कंसंट्रेशन (3 ; हिस्टोरिकल, शेयर्ड सोसिओ-इकनोमिक पाथवे 245[SSP245] और SSP585), कुल ३४२ ग्रिड के लिए कए गए हैं । ग्रिड वाले वातावरण में साइट-विशिष्ट CERES-Rice मॉडल को चलाने के लिए एक ग्रिडेड फ्रेमवर्क तैयार किया गया है। हिस्टोरिकल, SSP245 और SSP585 के लिए बायस-अडजस्टेड और डाउनस्केल्ड CMIP6 GCM के साथ CERES-Rice में इनपुट करके सिमुलेशन किए गए है। इसके अलावा, CO_2 फर्टिलाइजेशन इफ़ेक्ट को संवेदनशीलता प्रयोगों द्वारा निर्धारित किया गया है जिसमें 2005 (1995-2014 का औसत) के CO_2 कंसंट्रेशन को एक रोपण परिदृश्य के लिए,भविष्य जलवायु (SSP245 और SSP585) में सभी तीन की अवधि के लिए के साथ CERES-Rice सिमुलेट करना शामिल है। CERES-Rice सिमुलेशन हिस्टोरिकल (1995-2014) और दो SSP के तीन भविष्य की अवधि (2030 [2026-2035], 2050 [2046-2055], और 2090 [2090-2099]) के लिए किए गए है। सभी AEZ के लिए फेनोलॉजी (एंथिसिस और मेट्यूरिटी), सिंचाई राशि, फसल वाष्पीकरण (ET), फसल वाष्पोत्सर्जन (EP), मिट्टी वाष्पीकरण (ES), उपज और जल उपयोग दक्षता (WUE) का आकलन किया गया है।

इसके बाद, हमने हिस्टोरिकल रन (1995-2014) के लिए, IMD इनपुट वाले सिमुलेशन के साथ पूर्वाग्रह-समायोजित और डाउनस्केल्ड GCM जलवायु इनपुट वाले सिमुलेशन वाले CERES-Rice के आउटपुट का आकलन किया। सिंचित और वर्षा-आधारित आउटपुट वेरिएबल्स को शुरुआती, मध्य और देर से प्रत्यारोपण (25 जून, 5 जुलाई और 15 जुलाई), और चार किस्मों का हर AEZ के लिए औसत निकला। हमने पाया कि CERES-Rice सिमुलेशन इनपुट जलवायु वेरिएबल्स पर निर्भर हैं। बायस-अडजस्टेड और डाउनस्केल्ड डेटा उत्पादन IMD डेटा के

साथ अच्छी तरह से मेल खाते हैं, फिर भी वर्षा की आवृत्ति, तीव्रता और वितरण में अवशिष्ट पूर्वाग्रह संबंधित फसल मॉडल आउटपुट को प्रभावित करते हैं। सिंचाई की आवश्यकता और मिट्टी की नमी (जो ES, EP, ET, सिंचाई, उपज और WUE को प्रभावित करती है) बहुत अधिक वर्षा पर निर्भर करती है, इसलिए उनका प्रदर्शन प्रभावित होता है। वर्षा-आधारित चावल में अनिश्चितताएं अधिक होती हैं क्योंकि यह सिंचित चावल जो पानी की उपलब्धता से सीमित नहीं है के विपरीत पूरी तरह से फसल की पानी की आवश्यकता के लिए वर्षा पर निर्भर करता है। प्रत्यारोपण की तारीखों और AEZ के साथ मॉडल का प्रदर्शन अलग-अलग पाया गया।

इसके बाद, सभी प्रत्यारोपण मौसमों के लिए सिंचित और वर्षा-आधारित चावल के लिए SSP245 और SSP585 के तहत जलवायु परिवर्तन के प्रभाव का आकलन किया गया। 16 GCM के बहु-मॉडल माध्य (MMM) के आधार पर परिणाम पश्चिमी उत्तर प्रदेश के AEZ में वर्षा आधारित चावल की पैदावार में वृद्धि का प्रक्षेपण करते हैं, हालांकि, पूर्वी उत्तर प्रदेश में, दोनों SSP के तहत उपज घटने का प्रक्षेपण करते हैं। तापमान में वृद्धि और फसल अवधि की लंबाई में कमी के कारण दोनों SSP के तहत सभी AEZ में सिंचित चावल की उपज घट जाती है और 2090 तक कमी 20% तक होने का प्रक्षेपण है। सिंचित चावल के लिए, उपज में सबसे कम कमी जल्दी रोपण में होती है, और वर्षा-आधारित चावल के लिए, उपज में सबसे अधिक वृद्धि जल्दी रोपण में होती है। वर्षा में वृद्धि और फसल के ET में कमी के कारण सदी के अंत तक सिंचाई एकरस रूप से कम हो जाती है। फसल के ET में कमी, वाटर डेफिसिट में कमी (बारिश बढ़ने के कारण) और बढ़े हुए CO_2 (रंध्रों के खुलने में कमी) से जुड़ी है। 2030 से 2050 तक सिंचित और वर्षा-आधारित चावल दोनों के लिए जल उपयोग दक्षता (WUE) बढ़ जाने और 2090 तक घट जाने का प्रक्षेपण है। CO_2 की उच्च सांद्रता वर्षा-आधारित और सिंचित दोनों स्थितियों में चावल की उपज को बढ़ाती है। हालांकि, बढ़ी हुई वर्षा और CO_2 के स्तर का संयोजन सिंचित चावल की तुलना में वर्षा-आधारित चावल के लिए अधिक फायदेमंद प्रतीत होता है। वर्षा-आधारित चावल में CO_2 निषेचन प्रभाव सिंचित चावल की तरह स्थानिक रूप से एक समान नहीं है। उत्तर प्रदेश के अर्ध-शुष्क और शुष्क उप-आर्द्र AEZ में बढ़े हुए CO_2 के कारण वर्षा-आधारित चावल की उपज में सबसे अधिक वृद्धि का अनुमान है। कुल मिलाकर, हमारे विश्लेषण से पता चलता है कि पश्चिमी उत्तर प्रदेश में वर्षा आधारित चावल की पैदावार बढ़ने का अनुमान है, जबकि पूर्वी उत्तर प्रदेश में जलवायु परिवर्तन के तहत कमी आई है। जलवायु परिवर्तन के तहत राज्य के सभी AEZ में सिंचित चावल की पैदावार घटने का अनुमान है।

Table of Contents

List of Figures

List of Tables

List of Acronyms

AEZ	Agro-Ecological Zone
AgMIP	Agricultural Model Intercomparison and Improvement Project
BKZ	Bundelkhand Zone
BTZ	Bhabhar and Tarai Zone
CMIP	Climate Model Intercomparison Project
CP	Chill Portions
CPZ	Central Plain Zone
DEM	Digital Elevation Model
DES	Directorate of Economics & Statistics
DSL	Dry Spell Length
DSSAT	Decision Support System for Agrotechnology Transfer
EPZ	Eastern Plain Zone
ET	Evapotranspiration
FACE	free-Air CO2 Enrichment
FAOSTAT	Food and Agriculture Organization Corporate Statistical Database
GCM	Global climate models
GDD	Growing Degree Days
GDH	Growing Degree Hours
GeoMIP	Geoengineering Model Intercomparison Project
GGCMI	Global Gridded Crop Model Intercomparison
GHG	Green House Gas
IGP	Indo-Gangetic Plains
IMD	India Meteorological Department
IPCC	Intergovernmental Panel on Climate Change
ISM	Indian summer monsoon
JJAS	June-July-August-September
KNN	K-nearest neighbours
LGP	Length of Growing Period
MLR	Multiple Linear Regression
MMM	Multi-Model Mean
MWZ	Mid-western plain Zone
NBSSLUP	National Bureau for Soil Survey and Land Use Planning
NCEP	National Centre for Environmental Prediction
NEZ	North-Eastern Plain Zone
PCA	Principle Component Analysis

QM	Quantile Mapping
RCM	Regional Climate Model
RCP	Representative Concentration Pathway
SRM	Solar Radiation Management
SRTM	Shuttle Radar Topographic Mission
SSP	Shared Socioeconomic Pathway
SVM	Support Vector Machine
SWZ	Southwestern semi-arid plain Zone
TM	Temperature Model
UNFCC	United Nations Framework Convention on Climate Change
VZ	Vindhyan Zone
WDF	Wet Day Fraction
WG	Working Group
WPZ	Western Plain Zone
WSL	Wet Spell Length
WUE	Water Use Efficiency